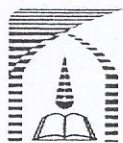


لِكَلْمَنْدَنْ

بسمه تعالیٰ



تاییدیه اعضای هیات داوران حاضر در جلسه دفاع از پایان نامه کارشناسی ارشد

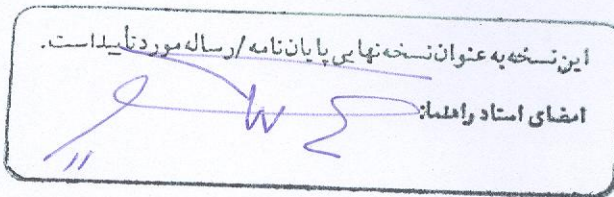
آقای محمد واعظ پایان نامه ۹ واحدی خود را با عنوان تصفیه پساب های صنعتی
بوسیله مواد نانو کاتالیست ثبت شده در راکتور بستر ثابت در تاریخ
۱۳۹۰/۴/۵ ارائه کردند.

اعضای هیات داوران نسخه نهایی این پایان نامه را از نظر فرم و محتوا تایید کرده، پذیرش آنرا
برای اخذ درجه کارشناسی ارشد مهندسی شیمی پیشنهاد می کنند.

عضو هیات داوران	نام و نام خانوادگی	رتبه علمی	امضا
استاد راهنمای	دکتر عبدالصمد زرین قلم مقدم	دانشیار	
استاد مشاور	دکتر نیاز محمد محمودی	استاد ریار	
استاد ناظر	دکتر مجتبی صدر عاملی	استاد	
استاد ناظر	دکتر سیمین ناصری	استاد	
مدیر گروه (یا نماینده گروه تخصصی)	دکتر مجتبی صدر عاملی	استاد	

این نسخه به عنوان نسخه نهایی پایان نامه / رساله مورد تأیید است.

اعضای هیئت راهنمای:



آیین نامه چاپ پایان نامه (رساله) های دانشجویان دانشگاه تربیت مدرس

نشر به اینکه چاپ و انتشار پایان نامه (رساله) های تخصصی دانشجویان دانشگاه تربیت مدرس، مبین بخشی از
عالیات های علمی - پژوهشی دانشگاه است پایه این به منظور آگاهی از رعایت حقوق دانشگاه داشت آموختگان این

دانشگاه نسبت به رعایت موارد ذیل متعدد می شوند:

ماده ۱: در صورت اقدام به چاپ پایان نامه (رساله) خود، مراتب را قبل از طور کنیت به «دفتر نشر اثار علمی»
دانشگاه اطلاع دهد.

ماده ۲: در صفحه سوم کتاب (پس از برگ شناسنامه) عبارت ذیل را چاپ کند:
«کتاب حاضر، خاصی پایان نامه کارشناسی ارشد / رساله دکتری نگارنده در و شته **محمد کسر** است که در
ماه ۱۳۹۰ در دانشگاه **محمد کسر** دانشگاه تربیت مدرس به راهنمایی
سرکار **کاظم اجنب افای دکتر زین‌الملک**، مشاوره سرکار خانم **کاظم افای دکتر محمد**
و مشاوره سرکار خانم **اجنب افای دکتر** آن دفع شده است.»

ماده ۳: به هنرمندانی از هزینه های انتشارات دانشگاه، تعداد یک درصد شمارگان کتاب (در هر نوبت چاپ)
را به «دفتر نشر اثار علمی» دانشگاه امندا کند. دانشگاه می تواند هزار زیارت خود را به نفع مرکز نشر در معرض فروش
قوار دهد.

ماده ۴: در صورت عدم رعایت ماده ۳، ۵٪ بیانی شمارگان چاپ شده را به عنوان خسارت به دانشگاه تربیت مدرس،
تأثیره کند.

ماده ۵: دانشجو تعهد و قبول می کند در صورت خودداری از پرداخت بهاي خسارت، دانشگاه می تواند خسارت
مذکور را از طریق مراجع قضایی مطالبه و وصول کند؛ به علاوه به دانشگاه حق می دهد به منظور استیقای حقوق
خود، از طریق دادگاه، متعادل وجه مذکور در ماده ۴ را از محل توقيف کتابهای عرضه شده نگرفته برای فروش
تامین نماید.

ماده ۶: اینجنبه **محمد امیر** دانشجوی رشته **محمد کسر** مقطع کارشناسی ارشد

تعهد فوق وضمنت اجزای آن را قبول کرده، به آن ملتزم می شوم.

نام و نام خانوادگی:

محمد امیر

۹۰/۱۱/۸

تاریخ و امضا:

آیین نامه حق مالکیت مادی و معنوی در مورد نتایج پژوهش‌های علمی دانشگاه تربیت مدرس

مقدمه: با عنایت به سیاست‌های پژوهشی و فناوری دانشگاه در راستای تحقق عدالت و کرامت انسانها که لازمه شکوفایی علمی و فنی است و رعایت حقوق مادی و معنوی دانشگاه و پژوهشگران، لازم است اعضای هیأت علمی، دانشجویان، دانش آموختگان و دیگر همکاران طرح، در مورد نتایج پژوهش‌های علمی که تحت عنوانین پایان نامه، رساله و طرحهای تحقیقاتی با هماهنگی دانشگاه انجام شده است، موارد زیر را رعایت نمایند:

ماده ۱- حق نشر و تکثیر پایان نامه/ رساله و درآمدهای حاصل از آنها متعلق به دانشگاه می‌باشد ولی حقوق معنوی پذید آورندگان محفوظ خواهد بود.

ماده ۲- انتشار مقاله یا مقالات مستخرج از پایان نامه/ رساله به صورت چاپ در نشریات علمی و یا ارائه در مجتمع علمی باید به نام دانشگاه بوده و با تایید استاد راهنمای اصلی، یکی از اساتید راهنمای، مشاور و یا دانشجو مسئول مکاتبات مقاله باشد. ولی مسئولیت علمی مقاله مستخرج از پایان نامه و رساله به عهده اساتید راهنمای و دانشجو می‌باشد.

تبصره: در مقالاتی که پس از دانش آموختگی بصورت ترکیبی از اطلاعات جدید و نتایج حاصل از پایان نامه/ رساله نیز منتشر می‌شود نیز باید نام دانشگاه درج شود.

ماده ۳- انتشار کتاب، نرم افزار و یا آثار ویژه (التری هنری مانند فیلم، عکس، نقاشی و نمایشنامه) حاصل از نتایج پایان نامه/ رساله و تمامی طرحهای تحقیقاتی کلیه واحدهای دانشگاه اعم از دانشگاه‌ها، مراکز تحقیقاتی، پژوهشگاه‌ها، پارک علم و فناوری و دیگر واحدها باید با مجوز کتبی صادره از معاونت پژوهشی دانشگاه و براساس آئین نامه‌های مصوب انجام شود.

ماده ۴- ثبت اختراع و تدوین دانش فنی و یا ارائه یافته‌ها در جشنواره‌های ملی، منطقه‌ای و بین‌المللی که حاصل نتایج مستخرج از پایان نامه/ رساله و تمامی طرحهای تحقیقاتی دانشگاه باید با هماهنگی استاد راهنما یا مجری طرح از طریق معاونت پژوهشی دانشگاه انجام گیرد.

ماده ۵- این آیین نامه در ۵ ماده و یک تبصره در تاریخ ۱۴۰۷/۴/۲۲ در شورای پژوهشی و در تاریخ ۱۴۰۷/۷/۱۵ شورای دانشگاه به تصویب رسیده و از تاریخ تصویب در شورای دانشگاه لازم الاجرا است.

۹

«اینجانب..... محمد راعظ دانشجوی رشته مهندسی ورودی سال تحصیلی ۸۷/۱۴/۲۲»

قطع طریق ایران دانشگاه متعهد می‌شوم کلیه نکات مندرج در آئین نامه حق مالکیت مادی و معنوی در مورد نتایج پژوهش‌های علمی دانشگاه تربیت مدرس را در انتشار یافته‌های سی - مستخرج از پایان نامه / رساله تحصیلی خود رعایت نمایم. در صورت تخلف از مفاد آئین نامه فوق الاشمار به دانشگاه وکالت و نمایندگی می‌دهم که از طرف اینجانب نسبت به لغو امتیاز اختراع بنام بنده و یا هر گونه امتیاز دیگر تغیر آن به نام دانشگاه اقدام نمایم. ضمناً نسبت به جبران فوری ضرر و زیان حاصله بر اساس برآورد دانشگاه اقدام خواهم نمود و بدینوسیله حق هر گونه اعتراض را از خود سلب نمودم»

امضا: ۹۰/۱۱/۸

تلخیز:



دانشگاه تربیت مدرس
دانشکده مهندسی شیمی

پایان نامه دوره کارشناسی ارشد مهندسی شیمی

تصفیه پساب‌های صنعتی به وسیله مواد نانو فتوکاتالیست ثبیت شده در راکتور بستر ثابت

محمد واعظ

استاد راهنما:

عبدالصمد زرین قلم مقدم

استاد مشاور:

نیاز محمد محمودی

بهار ۱۳۹۰

تعدیم به درو مادر عزیزم

آنان که وجودم برایشان همه نج بود و وجودشان برایم همه مهر. توانشان رفت تا به توانایی برسم و مویشان سپید گشت تارویم سپید باند. آنان که فروع نگاهشان، کرمی کلامشان و روشنی رویشان سریای های جاودانی زندگی من است. آنان که راستی قاتم دشکنکی قاتشان تجلی یافت. در برابر وجود کرامشان زانوی ادب بر زین می زنم و با دلی ملواز عشق، محبت و خضوع بر دستشان بوسه می زنم.

تقدیر و مشکر

حمد و پاس خدای را که به انسان جان بخشد و باز نیست غشی جان را مزین نمود اگر کون که مد لطف حمیلش ببار نشته است و همای سعادت به واطه
موبتش بر سرم بال و پر کشترانیده است، دست به قلم نیاش بردم و به شکرانه لطفش جین به صحاده شکر می سایم و از لطف پر کراتش سپاکنگاری
می کنم.

لازم میدانم که از محبت و بذل بی شایبه استاد ارجمند، جناب آقای دکتر عبدالصمد زرین قلم مقدم که در تامی مرافق انجام این پایان نامه راهنمایی
اینجانب را برعده کرفته و در سایر راهنمایی ها و حیات های ایشان، تلاش نایم به بار نشست، کمال شکر و قدردانی نموده و برای ایشان و خانواده محترم شان
آرزوی توفیق روز افزون و سلامت، از خداوند منان می ناییم.

از جناب آقای دکتر نیاز محمد محمودی که زحمت مشاوره این پایان نامه را برعده کرفته و سیمانه سپاکنگارم.

هم چنین از هنکار محترم دآزمایشگاه اینی و احتراق دانشگاه تریست مدرس سرکار خانم مهندس سیمه علی جانی که در این مدت با اینجانب هنکاری
داشته شکر و قدردانی می ناییم.

چکیده

نگرانی روز افرون در مورد آلاینده‌های زیست محیطی آب، نیاز به استفاده از فرآیندهای مؤثر حذف و جداسازی را ضروری می‌سازد. استفاده از فتوکاتالیست، به عنوان یکی از فرآیندهای اکسیداسیون پیشرفت، یک تکنیک مؤثر در تخلیص آلاینده‌های آب و هوا می‌باشد. در این تحقیق، از ذرات دی‌اکسید تیتانیوم، به عنوان فتوکاتالیست، به صورت دوغابی و ثبیت شده بر روی الیاف گونی جهت تخریب دو نوع رنگ Acid Black 26 و Reactive Red 152(RR152) در یک راکتور بستر ثابت استفاده شد. آنالیز SEM/EDX تشکیل بلورهای دی‌اکسید تیتانیوم را بر روی الیاف گونی تأیید می‌کند. نتایج XRD نشان می‌دهد که در نتیجه عملیات ثبیت، در ساختار فتوکاتالیست تغییر چندانی اتفاق نمی‌افتد. نتایج COD نشان می‌دهد که ذرات TiO_2 ثبیت شده بر روی الیاف گونی، تقریباً تمامی ترکیبات آلی موجود در محلول را پس از گذشت ۳ ساعت از تجزیه فتوکاتالیستی Acid Black 26 تخریب می‌کند. داده‌های حاصل از کروماتوگرافی یونی در حین تجزیه RR152، تجزیه کامل رنگ را نشان می‌دهد. اثر پارامترهای اصلی چون pH , آنیون‌ها (HCO_3^- , SO_4^{2-} , Cl^- و CO_3^{2-}), مقدار H_2O_2 و غلظت اولیه رنگ بر روی میزان رنگ بری در هر دو سیستم دوغابی و ثبیت شده با استفاده از آنالیز UV-vis مورد بررسی قرار گرفت و مقادیر بهینه پارامترهای عملیاتی تعیین گردید. به علاوه، از شبکه عصبی مصنوعی برای پیش‌بینی بازده سیستم ثبیت شده جهت تجزیه فتوکاتالیستی Acid Black 26 استفاده شد. نتایج حاصله نشان‌دهنده تطابق نتایج آزمایشگاهی و پیش‌بینی شده می‌باشد.

کلید واژه: فتوکاتالیست ثبیت شده، رنگ‌زای صنعتی، شبکه عصبی

فهرست مطالعه

۱		مقدمه
		فصل ۱- کلیات
۳		۱-۱- کلیات
۱		۲-۱- فرآیندهای اکسیداسیون پیشرفته
۲		۳-۱- فرآیندهای اکسیداسیون پیشرفته فتوشیمیایی
۳		۴- نور و اشعه ماوراء بمنفس
۴		۵- فرآیند فتوشیمیایی فتوولیز آب توسط نور ماوراء بمنفس تحت خلاء (V-UV)
۶		۶- فرآیند فتوشیمیایی آب اکسیژنه و نور ماوراء بمنفس (UV/H_2O_2)
۶		۷- فرآیند فتوشیمیایی اوزون و نور ماوراء بمنفس (UV/O_3)
۶		۸- فرآیند فتوشیمیایی آب اکسیژنه، اوزون و نور ماوراء بمنفس ($UV/H_2O_2/O_3$)
۷		۹- فرآیند فتوشیمیایی فتو- فنتون ($UV/H_2O_2/Fe^{2+}$)
۷		۱۰- فرآیندهای اکسیداسیون پیشرفته فتوکاتالیستی
۸		۱۱- نیمه هادی ها
۸		۱۲- مکانیسم فرآیندهای فتوکاتالیستی
۱۱		۱۳- کاربردهای فرآیندهای فتوکاتالیستی
۱۱		۱۴- مزایای فرآیندهای فتوکاتالیستی
۱۲		۱۵- فتوکاتالیست ها
۱۳		۱۶- دی اکسید تیتانیوم (TiO_2)
۱۴		۱۷- فتو کاتالیست های معلق و ثبیت شده
۱۵		۱۸- اثر حرارت بر تغییر ساختار دی اکسید تیتانیوم
۱۶		۱۹- سینتیک واکنش های فتوکاتالیستی
۱۶		۲۰- عوامل مؤثر در تجزیه فوتوكاتالیستی
۱۶		۲۱- تأثیر غلظت اولیه آلاینده
۱۷		۲۲- تأثیر مقدار TiO_2
۱۸		۲۳- تأثیر pH
۱۹		۲۴- تأثیر شدت نور و مدت زمان تابش
۱۹		۲۵- دما
۲۰		۲۶- راکتورهای فتوکاتالیستی متداول
۲۰		۲۷- راکتورهای مورد استفاده برای استفاده در فاز مایع
۲۰		۲۸- نوع تابش
۲۰		۲۹- محل قرار گرفتن منبع نور
۲۰		۳۰- حالت فتوکاتالیست

۲۲	فصل ۲- مروری بر مطالعات قبلی
۲۳	- کلیات
۲۴	- پایه‌های متداول
۲۴	- شیشه
۲۴	- کربن فعال
۲۵	- مواد سیلیکایی
۲۶	- مواد پلیمری
۲۶	- پایه‌های غیرمتداول
۲۷	- برخی تحقیقات در خصوص فتوراکتورها
۳۲	فصل ۳- پیش‌بینی به کمک شبکه عصبی
۳۳	- معرفی شبکه‌های عصبی مصنوعی (ANNs)
۳۴	- انگیزه‌های بیولوژیکی
۳۶	- انتظارات
۳۶	- قابلیت یادگیری
۳۶	- پردازش اطلاعات "پردازش اطلاعات به صورت متن"
۳۷	- قابلیت تعمیم
۳۷	- پردازش موازی
۳۷	- مقاوم بودن
۳۷	- مدل نرون
۳۷	- مدل تک ورودی
۳۸	- توابع انتقال
۳۸	- تابع انتقال Hard limit
۳۹	- تابع انتقال خطی
۳۹	- تابع انتقال log sigmoid
۴۰	- ساختار شبکه‌های عصبی
۴۰	- شبکه تک لایه
۴۱	- شبکه‌های چند لایه
۴۲	- معماری شبکه
۴۳	- قوانین یادگیری
۴۳	- یادگیری ناظارت شده
۴۴	- یادگیری ناظارت نشده
۴۵	- پارامترهای مؤثر در شبکه‌های عصبی
۴۵	- تعداد نرون‌های هر لایه
۴۵	- تعداد لایه‌های شبکه
۴۵	- مقدار مناسب آموزش

۴۶	- ۱۱-۳ معرفی چند نمونه از شبکه‌های عصبی مصنوعی
۴۶	- ۱-۱۱-۳ شبکه‌های عصبی پیشرو(FFNN)
۴۶	- ۲-۱۱-۳ شبکه‌های بازگشتی(RN)
۴۶	- ۳-۱۱-۳ شبکه‌های توابع پایه شعاعی(RBF)
۴۹	- ۴-۱۱-۳ شبکه‌های پرسپترون چند لایه(MLP)
۵۱	فصل ۴- تجهیزات، مواد و روش‌های آزمایش(روش تحقیق)
۵۲	- ۱-۴ کلیات
۵۳	- ۲-۴ مواد شیمیایی مورد استفاده
۵۳	- ۳-۴ نحوه انجام آزمایشات
۵۳	- ۱-۳-۴ تجزیه فتوکاتالیستی 26 Acid Black در سیستم دوغابی
۵۴	- ۲-۳-۴ پارامترهای مورد بررسی در سیستم دوغابی
۵۴	- ۳-۳-۴ روش نمونه برداری
۵۵	- ۴-۴ تثبیت نانوذرات دیاکسید تیتانیوم بر روی الیاف گونی
۵۵	- ۵-۴ تعیین مشخصات فتوکاتالیست تثبیت شده
۵۵	- ۱-۵-۴ آنالیز پرش اشعه ایکس (XRD)
۵۶	- ۲-۵-۴ آنالیز میکروسکوپ الکترونی روبشی (SEM)
۵۷	- ۳-۵-۴ آنالیز EDX
۵۷	- ۶-۴ تجزیه فتوکاتالیستی 26 Acid Black در سیستم تثبیت شده
۵۷	- ۷-۴ مقایسه سیستم دوغابی و تثبیت شده
۵۸	- ۸-۴ بررسی میزان تشکیل محصولات واسطه
۵۸	- ۹-۴ بررسی امکان استفاده مجدد از فتوکاتالیست در سیستم تثبیت شده
۵۹	- ۱۰-۴ تجهیزات مورد استفاده در این پژوهش
۶۰	فصل ۵- نتایج و بحث
۶۱	- ۱-۵ کلیات
۶۲	- ۲-۵ بخش اول-نتایج آزمایشگاهی
۶۲	- ۱-۲-۵ تعیین مشخصات کاتالیست تثبیت شده
۶۲	- ۱-۱-۲-۵ آنالیز پرش اشعه ایکس (XRD)
۶۳	- ۲-۱-۲-۵ آنالیز میکروسکوپ الکترونی روبشی (SEM)
۶۵	- ۳-۱-۲-۵ آنالیز EDX
۶۶	- ۲-۲-۵ تعیین میزان جذب توسط الیاف گونی بدون حضور نور UV
۶۷	- ۳-۲-۵ مقایسه تجزیه فتوکاتالیستی 26 Acid Black در سیستم دوغابی و تثبیت شده
۶۹	- ۴-۲-۵ بررسی عملکرد فتوکاتالیستی TiO_2 تثبیت شده روی الیاف گونی توسط COD
۶۹	- ۵-۲-۵ بررسی امکان استفاده مجدد از فتوکاتالیست TiO_2 تثبیت شده روی الیاف گونی
۷۰	- ۶-۲-۵ ارزیابی عملکرد فتوکاتالیستی TiO_2 دوغابی در حذف RR152

-۷-۲-۵	بررسی اثر پارامترهای عملیاتی بر تجزیه فتوکاتالیستی Acid Balck 26 در سیستم دوغابی و
۷۲	ثبت شده و Reactive Red 152 در سیستم دوغابی
-۱-۷-۲-۵	۷۲ اثر پراکسید هیدروژن
-۲-۷-۲-۵	۷۴ اثر غلظت اولیه Acid Black 26 و RR 152
-۳-۷-۲-۵	۷۷ اثر آنیون
-۴-۷-۲-۵	۸۰ اثر pH
-۸-۲-۵	۸۳ اثر مقدار فتوکاتالیست TiO_2 بر تجزیه فتوکاتالیستی 26 Acid Black در سیستم دوغابی
-۳-۵	۸۴ بخش دوم-نتایج بخش شبیه سازی
-۱-۳-۵	۸۴ مقدمه
-۲-۳-۵	۸۴ بررسی تعداد نرون‌ها و لایه‌ها
فصل ۶-	نتیجه‌گیری و پیشنهادات
-۱-۶	۹۸ نتیجه‌گیری
-۲-۶	۹۹ پیشنهادات
فصل ۷-	منابع
۸۹	

فهرست جداول

جدول ۱-۱ پتانسیل اکسیداسیون اکسندها به همراه قدرت اکسیداسیون نسبی آنها.....	۲
جدول ۲-۱ انرژی فاصله ترازهای برخی از فتوکاتالیستها.....	۱۲
جدول ۳-۱ جدول مقایسه راکتورهای دوغابی و ثبیت شده... Error! Bookmark not defined.	
جدول ۱-۴ مشخصات Acid Black 26 Acid Black 26	۵۳
جدول ۲-۴ تجهیزات مورد نیاز جهت انجام آزمایش آزمایش	۵۹
جدول ۳-۴ مشخصات شرکت سازنده و مدل تجهیزات و لوازم مورد استفاده.....	۵۹
جدول ۱-۵ نتایج آنالیز ساختاری نمونه‌های کاتالیستی حاصل از نتایج XRD	۶۲
جدول ۲-۵ پارامترهای K و R^2 محاسبه شده برای تجزیه Acid Black 26 در چهار فرآیند مختلف	۶۷
جدول ۳-۵ پارامترهای K و R^2 محاسبه شده برای تجزیه 152 RR در سیستم دوغابی با غلظت مختلف از H_2O_2 H_2O_2	۷۲
جدول ۴-۵ پارامترهای K و R^2 محاسبه شده برای تجزیه Acid Black 26 در سیستم دوغابی با غلظت مختلف از H_2O_2 H_2O_2	۷۳
جدول ۵-۵ پارامترهای K و R^2 محاسبه شده برای تجزیه Acid Black 26 در سیستم ثبیت شده با غلظت مختلف از H_2O_2 H_2O_2	۷۴
جدول ۶-۵ پارامترهای K و R^2 محاسبه شده برای تجزیه 152 RR در سیستم دوغابی با غلظت اولیه مختلف از رنگ اولیه مختلف از رنگ	۷۶
جدول ۷-۵ پارامترهای K و R^2 محاسبه شده برای تجزیه Acid Black 26 در سیستم دوغابی با غلظت اولیه مختلف از رنگ اولیه مختلف از رنگ	۷۶
جدول ۸-۵ پارامترهای K و R^2 محاسبه شده برای تجزیه Acid Black 26 در سیستم ثبیت شده با غلظت اولیه مختلف از رنگ اولیه مختلف از رنگ	۷۷
جدول ۹-۵ پارامترهای K و R^2 محاسبه شده برای تجزیه 152 RR در سیستم دوغابی با آئیون‌های مختلف آئیون‌های مختلف	۷۹
جدول ۱۰-۵ پارامترهای K و R^2 محاسبه شده برای تجزیه Acid Black 26 در سیستم دوغابی با آئیون‌های مختلف آئیون‌های مختلف	۷۹
جدول ۱۱-۵ پارامترهای K و R^2 محاسبه شده برای تجزیه Acid Black 26 در سیستم ثبیت شده با آئیون‌های مختلف شده با آئیون‌های مختلف	۷۹
جدول ۱۲-۵ پارامترهای K و R^2 محاسبه شده برای تجزیه 152 RR در سیستم دوغابی با مختلف مختلف	۸۱
جدول ۱۳-۵ پارامترهای K و R^2 محاسبه شده برای تجزیه Acid Black 26 در سیستم دوغابی با pH مختلف pH	۸۲

جدول ۱۴-۵ پارامترهای K و R^2 محاسبه شده برای تجزیه Acid Black 26 در سیستم ثبیت
شده با pH مختلف ۸۲

فهرست شکل‌ها

..... ۵	شکل ۱-۱ گسترهٔ طیف‌های امواج الکترومغناطیس
..... ۵	شکل ۲-۱ محدوده طیف اشعه UV
..... ۱۱	شکل ۳-۱ شمای کلی و ساده از مکانیسم فرآیندهای فتوکاتالیستی
..... ۱۳	شکل ۴-۱ ساختارهای کریستالی آناتاز (a)، روتایل (b) و بروکیت (c)
..... ۲۷	شکل ۱-۲ شماتیک راکتور لوله‌ای بافل دار ارتعاشی - تصویر بافل نیز نشان داده است
..... ۲۸	شکل ۲-۲ شماتیک فتوراکتور لوله‌ای تثبیت شده
..... ۲۹	شکل ۳-۲ نما از بالای فتوراکتور در بررسی صورت گرفته توسط Mozia et al.
..... ۳۰	شکل ۴-۲ دیاگرام شماتیک راکتور با سطح تثبیت شده
..... ۳۰	شکل ۵-۲ شماتیک فتوراکتور آبشاری در مقیاس پایلوت - (A) صفحات فولاد ضدزنگ پوشیده شده با (B) مخزن همراه با شیر تخلیه (C) شیر کنترل (D) پمپ سانتریفیوژ (E) کویل خنک کننده در حمام آب (F) فلومتر (G) مخزن ذخیره کننده مایع
..... ۳۶	شکل ۱-۳ نواحی اصلی یک سلول عصبی بیولوژیک
..... ۳۶	شکل ۲-۳ نرون حسی
..... ۳۸	شکل ۳-۳ مدل نرون تک ورودی
..... ۳۹	شکل ۴-۳ تابع انتقال Hard limit
..... ۳۹	شکل ۵-۳ تابع انتقال خطی
..... ۳۹	شکل ۶-۳ تابع انتقال لگاریتم سیگموئید
..... ۴۰	شکل ۷-۳ شبکه تک لایه با S نرون
..... ۴۰	شکل ۸-۳ فرم فشرده یا ماتریسی شبکه تک لایه با S نرون
..... ۴۱	شکل ۹-۳ لایه ترکیبی با دو نوع تابع محرک f^1 و f^2
..... ۴۱	شکل ۱۰-۳ شبکه پیش خور دو لایه
..... ۴۲	شکل ۱۱-۳ فرم ساده شده شبکه پیشخور با دو لایه میانی
..... ۴۷	شکل ۱۲-۳ شبکه تابع شعاع مدار
..... ۴۸	شکل ۱۳-۳ یک تابع گوسین با میانگین ۰ و انحراف معیار ۰.۵
..... ۴۹	شکل ۱۴-۳ ساختار یک شبکه عصبی سه لایه
..... ۵۳	شکل ۱-۴ ساختار شیمیایی Acid Black 26
..... ۵۴	شکل ۲-۴ تشعشع سنج مورد استفاده جهت اندازه‌گیری میزان تابش نور UV
..... ۵۵	شکل ۳-۴ دستگاه اسپکتروفتومتر مورد استفاده
..... ۵۷	شکل ۴-۴ (الف) میکروسکوپ الکترونی مورد استفاده در این تحقیق، (ب) دستگاه لایه نشانی طلا بر روی نمونه و (پ) نمونه‌هایی که توسط طلا پوشش داده شده‌اند

شکل ۱-۵ آنالیز پرس اشعه ایکس نمونه پودر قبل از تثبیت (الف)، فتوکاتالیست تثبیت شده روی الیاف گونی (ب).....	۶۳
شکل ۲-۵ تصاویر میکروسکوپ الکترونی روبشی الیاف گونی در بزرگنمایی کوچک (الف) و بزرگنمایی بزرگ (ب).....	۶۳
شکل ۳-۵ تصاویر میکروسکوپ الکترونی روبشی الیاف گونی پس از تثبیت بدون بزرگنمایی (پ) و با بزرگنمایی (ت).....	۶۴
شکل ۴-۵ تصاویر میکروسکوپ الکترونی روبشی نانو ذرات دیاکسید تیتانیوم.....	۶۴
شکل ۵-۵ تصاویر میکروسکوپ الکترونی روبشی نانو ذرات دیاکسید تیتانیوم تثبیت شده.....	۶۵
شکل ۶-۵ آنالیز EDX الیاف گونی.....	۶۶
شکل ۷-۵ آنالیز EDX فتوکاتالیست تثبیت شده بر روی الیاف گونی.....	۶۶
شکل ۸-۵ میزان جذب رنگ زا روی الیاف گونی در حضور نور UV.....	۶۷
شکل ۹-۵ اثر فتوکاتالیست روی سرعت تجزیه Acid Black 26 برای (الف) الیاف گونی با تابش نور UV، (ب) دیاکسید تیتانیوم تثبیت شده بدون تابش نور UV، (ج) دیاکسید تیتانیوم دوغابی با تابش UV و (د) دیاکسید تیتانیوم تثبیت شده با تابش نور UV.....	۶۷
شکل ۱۰-۵ حذف اکسیژن شیمیایی مورد نیاز محلول در طی تجزیه فتوکاتالیستی Acid Black 26 (غلظت رنگ pH ۲، ۵ppm H ₂ O ₂ :۰/۵۲۸ ml/L و بدون حضور آنیون).....	۶۹
شکل ۱۱-۵ عملکرد فتوکاتالیستی سیکلی نانو ذرات TiO ₂ تثبیت شده روی الیاف گونی برای تجزیه Acid Black 26 (غلظت رنگ pH ۲، ۵ppm H ₂ O ₂ :۰/۵۲۸ ml/L و بدون حضور آنیون).....	۷۰
شکل ۱۲-۵ تشکیل و از بین رفتن اسیدهای کربوکسیلی آلیفاتیک در محلول در حین تجزیه فتوکاتالیستی RR152 (غلظت اولیه رنگ زا ۵.۰ ppm H ₂ O ₂ :۳۰۰ mg/L و بدون حضور آنیون).....	۷۱
شکل ۱۳-۵ تشکیل سولفات، کلرید و نیترات در محلول در حین تجزیه فتوکاتالیستی RR152 (غلظت اولیه رنگ زا ۵.۰ ppm H ₂ O ₂ :۳۰۰ mg/L و بدون حضور آنیون).....	۷۲
شکل ۱۴-۵ رنگ زدایی ۱۵۲ RR توسط TiO ₂ دوغابی در حضور مقداری مختلف پراکسید هیدروژن (غلظت اولیه رنگ pH ۵.۰ ppm نرمال و بدون حضور آنیون).....	۷۲
شکل ۱۵-۵ رنگ زدایی ۲۶ Acid Black 26 توسط TiO ₂ دوغابی در حضور مقداری مختلف پراکسید هیدروژن (غلظت اولیه رنگ pH ۵.۰ ppm نرمال و بدون حضور آنیون).....	۷۳
شکل ۱۶-۵ رنگ زدایی ۲۶ Acid Black 26 توسط TiO ₂ تثبیت شده بر روی الیاف گونی در حضور مقداری مختلف پراکسید هیدروژن (غلظت رنگ pH ۵.۰ ppm نرمال و بدون حضور آنیون).....	۷۴
شکل ۱۷-۵ رنگ زدایی ۱۵۲ RR توسط TiO ₂ دوغابی در حضور مقداری مختلف رنگ (H ₂ O ₂ :۳۰۰ mg/L، pH نرمال و بدون حضور آنیون).....	۷۵
شکل ۱۸-۵ رنگ زدایی ۲۶ Acid Black 26 توسط TiO ₂ دوغابی در حضور مقداری مختلف رنگ (H ₂ O ₂ :۰/۵۲۸ ml/L، pH نرمال و بدون حضور آنیون).....	۷۵
شکل ۱۹-۵ رنگ زدایی ۲۶ Acid Black 26 توسط TiO ₂ تثبیت شده در حضور مقداری مختلف پراکسید هیدروژن (غلظت رنگ pH ۵.۰ ppm H ₂ O ₂ :۰/۵۲۸ ml/L، pH نرمال و بدون حضور آنیون).....	۷۶

- شكل ۲۰-۵ اثر افزودن آنیون بر رنگ زایی TiO_2 توسط RR دوغابی (غلظت رنگزا $ppm50$)
۷۸..... $H_2O_2: ۳۰۰ mg/L$ ، غلظت آنیون $۱.۵ mM$ و pH نرمال)
- شكل ۲۱-۵ اثر افزودن آنیون بر رنگ زایی TiO_2 Acid Black 26 توسط RR دوغابی (غلظت رنگزا
۷۸..... $H_2O_2: ۰/۵۲۸ ml/L$ ، ppm50 غلظت آنیون $۱.۵ mM$ و pH نرمال)
- شكل ۲۲-۵ اثر افزودن آنیون بر رنگ زایی TiO_2 Acid Black 26 توسط RR ثبیت شده بر الیاف
۷۹.....(غلظت رنگزا $۰/۵۲۸ ml/L$ ، ppm50، $H_2O_2: ۰/۵۲۸ ml/L$ ، غلظت آنیون $۱.۵ mM$ و pH نرمال)
- شكل ۲۳-۵ اثر تغییر pH بر تجزیه فتوکاتالیستی RR توسط TiO_2 دوغابی (غلظت رنگ زا
۸۱..... pH نرمال و بدون حضور آنیون) $H_2O_2: ۳۰۰ mg/L$ ، $۵.۰ ppm$
- شكل ۲۴-۵ اثر تغییر pH بر تجزیه فتوکاتالیستی Acid Black 26 توسط TiO_2 دوغابی (غلظت
رنگ زا $۰/۵۲۸ ml/L$ ، $H_2O_2: ۰/۵۲۸ ml/L$ ، pH نرمال و بدون حضور آنیون) $۵.۰ ppm$
- شكل ۲۵-۵ اثر تغییر pH بر تجزیه فتوکاتالیستی Acid Black 26 توسط TiO_2 ثبیت شده روی
الیاف گونی (غلظت رنگ زا $۰/۵۲۸ ml/L$ ، $۵.۰ ppm$ $H_2O_2: ۰/۵۲۸ ml/L$ و بدون حضور آنیون)
۸۲.....
- شكل ۲۶-۵ اثر افزایش مقدار کاتالیست روی تخریب Acid Black 26 ($H_2O_2: ۰/۵۲۸ ml/L$ و
نرمال و بدون حضور آنیون)
۸۳.....
- شكل ۲۷-۵ شماتیک شبکه عصبی مصنوعی استفاده شده
۸۴.....
- شكل ۲۸-۵ تغییرات خطا RSME برای لایه‌ها و نزون‌های مختلف با مدل انتقال Tansig
۸۴.....
- شكل ۲۹-۵ تغییرات خطا SSE برای لایه‌ها و نزون‌های مختلف با مدل انتقال Tansig
۸۴.....
- شكل ۳۰-۵ مقایسه داده‌های تجری و پیش‌بینی شده برای رنگ زدایی Acid Black 26 توسط
 TiO_2 ثبیت شده بر روی الیاف گونی در حضور مقادیر مختلف پراکسید هیدروژن (غلظت رنگ
 $۵.۰ ppm$ pH نرمال و بدون حضور آنیون)
۸۴.....
- شكل ۳۱-۵ مقایسه داده‌های تجری و پیش‌بینی شده برای رنگ زدایی Acid Black 26 توسط
 TiO_2 ثبیت شده در حضور مقادیر مختلف پراکسید هیدروژن ($H_2O_2: ۰/۵۲۸ ml/L$ ، pH نرمال و بدون
حضور آنیون)
۸۴.....
- شكل ۳۲-۵ مقایسه داده‌های تجری و پیش‌بینی شده برای اثر افزودن آنیون بر رنگ زایی Acid
Black 26 توسط TiO_2 ثبیت شده بر الیاف گونی (غلظت رنگزا $۰/۵۲۸ ml/L$ ، ppm50، $H_2O_2: ۰/۵۲۸ ml/L$ ،
آنیون $۱.۵ mM$ و pH نرمال)
۸۵.....
- شكل ۳۳-۵ مقایسه داده‌های تجری و پیش‌بینی شده برای اثر تغییر pH بر تجزیه فتوکاتالیستی
 $H_2O_2: ۰/۵۲۸ ml/L$ توسط Acid Black 26 ثبیت شده روی الیاف گونی (غلظت رنگ زا $۰/۵۲۸ ml/L$ ،
۵.۰ ppm و بدون حضور آنیون)
۸۵.....
- شكل ۳۴-۵ مقایسه بین داده‌های تجربی و داده‌های پیش‌بینی شده توسط شبکه عصبی
۸۵.....

۱- مقدمه

حدوداً چهار میلیارد از مردم سراسر جهان، به آب تمیز دسترسی ندارند و یا دسترسی اندکی به آب تمیز دارند^[۱]. این نتایج آماری در آینده نزدیک، به دلیل تخلیه بی حد و اندازه میکرو آلایندهها و آلایندهها به سیکل طبیعی آب افزایش خواهد یافت. نگرانی روز افرون در مورد آلایندههای زیست محیطی آب، نیاز به استفاده از عملیات‌های مؤثر حذف و جداسازی را ضروری می‌سازد^[۲]. تاکنون، بسیاری از روش‌های متداول مانند روش‌های فیزیکی (مثل جذب)، روش بیولوژیکی، روش‌های شیمیایی (مثل کلرزدن و ازن زدن) و ترکیبی از این روش‌ها به طور وسیعی برای تصفیه پساب‌های حاوی آلاینده استفاده شده است^[۳]. فرآیندهای متداول برای تصفیه این پساب‌ها مانند جذب یا انقاد، به اندازه کافی مؤثر نیستند چون این روش‌ها، باعث تخریب ناقص ترکیبات آلاینده می‌شوند و فقط این ترکیبات را از یک فاز به فاز دیگر تبدیل می‌کنند به علاوه، استفاده از جاذب معمولاً گران و پرهزینه می‌باشد^[۳]. سایر فرآیندهای متداول تصفیه آب مانند رسوب گذاری، فیلتراسیون، تکنولوژی‌های غشایی هزینه‌های عملیاتی بالایی دارند و می‌توانند آلایندههای سمنی ثانویه‌ای در اکوسیستم تولید کنند. بنابراین استفاده از روش‌های شیمیایی بر پایه فرآیندهای اکسایشی مورد توجه قرار گرفته است. از آنجا که اغلب آلاینده‌های موجود در محیط زیست از نوع ترکیبات آلی اند که غالباً طی فرآیندهای اکسایشی قابل تجزیه‌اند، لذا در این روش‌ها، از اکسنده‌های خیلی قوی مثل پراکسید هیدروژن و اوزن استفاده می‌شود. البته ترکیباتی مثل اوزن، خود نیز خطرناک بوده و استفاده بیش از حد این گونه ترکیبات شیمیایی سبب مسموم شدن محیط می‌گردد؛ لذا محققین به منظور رفع نواقص مطرح شده و بهبود فرآیند حذف آلاینده‌ها، تلاش خود را به سمت فرآیندهای اکسیداسیون پیشرفت^۱ سوق داده‌اند^[۴]. در میان فرآیندهای اکسیداسیون پیشرفته، استفاده از فتوکاتالیست، یک تکنیک مؤثر در تخلیص آب و هوا می‌باشد. اولاً، فتوکاتالیست با تجزیه آلاینده یا تبدیل آن به موادی که کمتر مضر می‌باشند، در حضور نور UV و یا نوری نزدیک به طیف UV، آلاینده را از بین می‌برد. ثانیاً، می‌توان از چندین ماده غیرسمی به عنوان فتوکاتالیست نیمه‌هادی استفاده نمود. ثالثاً، این فرآیند می‌تواند در فشار اتمسفریک و در دمای اتاق یا نزدیک به آن مورد استفاده قرار بگیرد. از سوی دیگر، فرآیندهای فتوکاتالیستی کم هزینه هستند چون از نور خورشید به عنوان منبع نوری نیز استفاده می‌کنند، همچنین به عنوان یک فرآیند سازگار با محیط زیست شناخته می‌شود^[۳]. بررسی‌ها نشان می‌دهد که فتوکاتالیست‌های هتروژن، با بکارگیری اکسیدهای نیمه‌هادی مانند ZnO، WO₃، Fe₂O₃, TiO₂، بازده بالایی در تجزیه انواع مختلف آلاینده‌های آبی و تبدیل آنها به مواد معنی، H₂O و CO₂ دارند^[۱]. این اکسیدهای فلزی بادوامند، بلورینگی متنوعی دارند، دارای ساختارهای

^۱Advanced Oxidation Processes(AOPs)

الکترونی با چندین حالت اکسایش، اعداد کثوردینانسیون متفاوت و متقارن، پایداری میدان لیگند و خواص اسیدی - بازی می‌باشند.

در میان انواع مختلف فتوکاتالیست‌ها، TiO_2 ، به عنوان فتوکاتالیست نیمه‌هادی، در تبدیل آلاینده‌های آلی به مواد بی‌ضرر به طور گستردگی استفاده می‌شود. TiO_2 در مقایسه با سایر فتوکاتالیست‌ها مانند، WO_3 , CdS , Fe_2O_3 , ZnO , ZnS ، نسبتاً خنثی، غیرسمی، ارزان‌تر و در برابر خوردگی مقاوم می‌باشد[۲]. فرآیندهای اصلی فتوکاتالیستی زمانی اتفاق می‌افتد که پرتو نور با انرژی مساوی یا بیشتر از باند گپ TiO_2 ($3/2\text{ev}$) به سطح آن تابیده شود، در این حالت، الکترون‌ها (که از نوار ظرفیت به نوار هدایت منتقل می‌شوند) و حفره‌ها (که در نوار ظرفیت باقی می‌مانند) بر روی سطح کاتالیست ایجاد شده و متناوباً گونه‌های واکنش‌پذیر اکسیژن مانند رادیکال‌های OH^\bullet و O_2^\bullet ایجاد می‌کنند تا آلاینده‌های رنگی آلی را تجزیه کنند[۳]. به هر حال، بسیاری از بررسی‌های تجزیه فتوکاتالیستی آلاینده‌های آبی با استفاده از TiO_2 پودری و به فرم سوسپانس شده در محلول انجام می‌شود[۵-۷]. علاوه بر کلوخه شدن ذرات در سیستم دوغابی، از نقطه نظر جداسازی فتوکاتالیست از مخلوط واکنش، فرآیند بازیافت ذرات فتوکاتالیستی ($300-200\text{ nm}$) از محیط، وقت‌گیر و پرهزینه می‌باشد[۲]. لذا تثبیت کاتالیست روی یک پایه مناسب حائز اهمیت است. تاکنون از پایه‌های مختلفی مانند شیشه[۱۲-۸]، کربن فعال[۱۷-۱۳و۵]، سیلیکا[۲۲-۱۸و۵]، مواد پلیمری[۲۳-۲۴]، سنگ متخخل^۱[۲۷]، فولاد ضدزنگ[۲۸-۲۹]، ماسه کوارتز[۳۰] آلومینا و فوم‌های سرامیکی[۳۱-۳۳] برای تثبیت فیلم TiO_2 استفاده شده است.

بسیاری از این زیر لایه‌ها، به صورت گرانوله به کار رفته‌اند که ممکن است بازده فتوکاتالیستی را به شدت تحت تأثیر قرار دهد، به دلیل این که TiO_2 بارگذاری شده در منافذ این نوع پایه‌ها، دسترسی اندکی به نور فوتون دارد[۱۴]. در این تحقیق، از الیاف گونی‌های بکار رفته در کارهای عمرانی، برای اولین بار به عنوان پایه استفاده شده است. ساختار فیبر مانند گونی، دسترسی نور UV به ذرات فتوکاتالیستی را تسهیل می‌کند. این نوع گونی، معمولاً در عایق کاری ساختمانی استفاده می‌گردد، لذا از پایداری مکانیکی و دوام خوبی به منظور استفاده در تصفیه آب برخوردار می‌باشد. امکان جایجایی آسان آن نسبت به پایه‌های گرانوله، قیمت بسیار پایین و دسترسی آسان از سایر ویژگی‌های این نوع گونی است. در ادامه، پارامترهای مؤثر بر بازده فتوکاتالیستی دی‌اکسید تیتانیوم جهت تجزیه دو گونه رنگ صنعتی در سیستم دوغابی و تثبیت شده مورد بررسی قرار گرفته‌اند. در پایان از داده‌های تجربی جهت پیش‌بینی به وسیله شبکه عصبی استفاده شده است.

^۱ Pumice stone

فصل اول

کہیات

۴۰